

doi: 10.3969/j.issn.2095-0411.2023.06.003

MOF 衍生制备 Pd-MnCeO_x 催化剂及其 CO 催化氧化性能

叶菁睿, 何光裕, 陈海群

(常州大学 石油化工学院, 江苏 常州 213164)

摘要: 利用铈基金属有机框架限域 Pd 颗粒, 并通过界面反应掺杂 Mn 离子, 以此为前驱体经过热解反应制备 MnCeO_x 混合氧化物负载的 Pd 催化剂。表征结果表明, 这一方法制备的 Pd-MnCeO_x 催化剂具有纳米棒状形貌, 且 Mn 在 CeO₂ 晶格中均匀掺杂, Pd 在载体上高度分散。Mn 的掺杂有效提升了载体的氧空穴浓度, 改善了载体的低温氧化还原性能, 增强了 CO 氧化反应中的晶格氧流动性。此外, 在 Mn 的掺杂量达到 3.26% 时, Pd-MnCeO_x-10 中 Pd 与混合氧化物具有最强的金属-载体相互作用, 从而表现出了最佳的 CO 催化氧化活性, 在 100 °C 时可以将 CO 完全转化。

关键词: 一氧化碳氧化; Pd 基催化剂; 金属掺杂; 二氧化铈

中图分类号: TQ 138.2

文献标志码: A

文章编号: 2095-0411(2023)06-0019-07

MOF-derived Pd-MnCeO_x catalysts and its CO catalytic oxidation properties

YE Jingrui, HE Guangyu, CHEN Haiqun

(School of Petrochemical Engineering, Changzhou University, Changzhou 213164, China)

Abstract: Ce-based metal-organic frameworks were applied to confine Pd particles and Mn ions were incorporated inside by interfacial reaction, which was pyrolyzed to prepare MnCeO_x mixed oxide supporting Pd as precursor. The characterization results showed that the as-prepared Pd-MnCeO_x catalysts possessed nanorod morphology, on which Pd were highly dispersed and Mn were homogeneously doped into CeO₂ lattice. Mn doping effectively improved the concentration of oxygen vacancy and the low-temperature redox of support, enhancing the lattice oxygen mobility in CO oxidation. In addition,

收稿日期: 2023-05-27。

基金项目: 江苏省高等学校基础科学(自然科学)研究项目资助(21KJD530001); 江苏省绿色催化材料与技术实验室开放课题基金资助项目(BM2012110)。

作者简介: 叶菁睿(1992—), 女, 安徽宿州人, 博士, 讲师。通信联系人: 陈海群(1970—), E-mail: chenhq@cczu.edu.cn

引用本文: 叶菁睿, 何光裕, 陈海群. MOF 衍生制备 Pd-MnCeO_x 催化剂及其 CO 催化氧化性能[J]. 常州大学学报(自然科学版), 2023, 35(6): 19-25.

when Mn doping amount reached 3.26%, the strongest metal-support interaction between Pd and the mixed oxide in Pd-MnCeO_x-10 was observed, leading to the improved catalytic activity as complete CO conversion at 100 °C.

Key words: CO oxidation; Pd-based catalysts; metal doping; CeO₂

CO 是一种易燃、易爆、有毒的气体，对于血红蛋白具有强亲和力，当环境中 CO 含量超过 50 mg/m³ 时，即会对成年人的身体健康造成伤害，因此低温下 (<100 °C) 脱除 CO 具有十分重要的意义^[1]。CO 催化氧化以其易操作和低成本等优势成为脱除 CO 的首选工艺，所用催化剂从活性成分的角度可以分为贵金属（主要为铂、钯和金等）和非贵金属（主要为铜）^[2]。其中，Pd 基催化剂在较高温度下表现出了高活性和高稳定性，但是在低温下活性较低，通过载体分散和减小尺寸等方法可以有效解决这一问题^[3]。

从载体分散的角度来说，CeO₂ 作为可还原性氧化物，是最常见的一类载体^[4]。CeO₂ 不仅可以分散 Pd，还可以与 Pd 产生强金属-载体相互作用 (Strong metal-support interaction, SMSI)，使得界面处的几何结构和电子结构得以优化^[5]。此外，CeO₂ 中存在 Ce⁴⁺/Ce³⁺ 的氧化还原循环，可以通过 Ce³⁺ 和 Ce⁴⁺ 之间的转化实现氧的释放和储存，表现出独特的储氧性能 (Oxygen storage capacity, OSC)。SUN 等^[6]发现 Mn-Ce 混合氧化物比单金属氧化物 CeO₂ 具有更多的氧空穴，有利于 CO 氧化反应的进行。从尺寸效应的角度来说，减小 Pd 的粒径可以使表面暴露更多的 Pd 原子，提高原子利用率。然而，随着粒径减小，表面能逐渐增大，小尺寸 Pd 难以维持稳定，在制备过程和反应过程中都容易发生自发团聚^[7]。通过物理限域的手段限制 Pd 颗粒的空间位置，可以使其保持原有的尺寸和活性^[8]。金属有机框架 (Metal-organic frameworks, MOFs) 由金属离子和有机配体组装而成，具有高比表面积，规整有序的孔道结构，且其化学组成易于调节，是用来分散和限域 Pd 颗粒的理想材料。此外，MOFs 可作为牺牲模板，通过热解形成金属氧化物。因此，将 Pd 分散在 MOFs 的孔结构中并加以限域，再以此为前驱体制备 Pd-MnCeO_x 催化剂，可以得到小尺寸、高分散的高效 CO 氧化催化剂^[9]。

文章利用 Ce 基 MOFs 的孔结构限域 Pd，再加入 KMnO₄，通过界面反应合成双金属氧化物 MnCeO_x负载的 Pd 催化剂。由于限域效应、Pd-Ce 间的相互作用以及 MnCeO_x 中丰富的氧空穴，Pd-MnCeO_x 在低温下表现出优秀的 CO 氧化活性。

1 实验

1.1 试 剂

氯化钯、聚乙烯吡咯烷酮 (PVP)、硝酸亚铈购自阿拉丁 (上海) 有限公司；乙醇、高锰酸钾、均苯三甲酸、盐酸购自国药集团化学试剂公司；实验室用水为去离子水。

1.2 材料制备

1.2.1 PVP-Pd 合成

前驱体 PdCl₂ 与 HCl 反应得到 H₂PdCl₄ 溶液 (2.0 mmol/L)，将 48 mL H₂PdCl₄ 溶液、45 mL H₂O、30 mL 乙醇和 0.40 g PVP 置于 110 °C 下回流搅拌 3 h，经旋转蒸发后得到 PVP-Pd。

1.2.2 Pd/Ce-MOF 合成

取 0.038 mmol PVP-Pd 胶体溶于 100 mL 水-乙醇混合溶液 (水和乙醇体积比为 1:1) 中，加入 1.22 g 均苯三甲酸和 2.52 g 硝酸亚铈。室温下搅拌 10 min 后，将其转移至 90 °C 下回流 2 h。经水和

乙醇离心洗涤数次,60 °C下干燥后即可得到Pd/Ce-MOF样品。将其于氩气气氛中800 °C焙烧2 h(升温速率为5 °C/min),得到Pd/CeO₂-C。

1.2.3 Pd-MnCeO_x合成

将0.1 g Pd/CeO₂-C分别分散于20 mL的5, 10, 15 mmol/L KMnO₄中,并于室温下静置1 d,之后经水和乙醇离心洗涤数次,于60 °C下干燥^[10],将其于静置空气中400 °C焙烧2 h(升温速率为5 °C/min),分别得到Pd-MnCeO_x-5, Pd-MnCeO_x-10, Pd-MnCeO_x-15催化剂。同时为了对比,采取同样制备方法,在不加入KMnO₄的情况下制备Pd-CeO₂。

1.3 表征仪器

XRD表征由荷兰X-Pert3 X射线衍射仪完成,TEM表征由配备Oxford X-MAXn65 T模块的HT-7700型电镜完成,化学吸附表征由AutoChem II 2920化学吸附仪完成,拉曼表征由LabRAM HR800型光谱仪完成,ICP表征由Optima 5300DV光谱仪完成,XPS表征由Escalab 250Xi型能谱仪完成。

1.4 CO催化氧化活性考评装置

采用固定床反应系统进行CO催化氧化活性测试,空速为15 000 mL/(g·h),反应气体体积分数为1% CO,1.55% O₂,稀释气体为He。使用气相色谱柱对反应器出口气体进行在线分析。

2 结果与讨论

2.1 结构特性

以铈离子作为金属节点,以均苯三甲酸(H₃BTC)作为有机配体,可以组装得到化学式为Ce(1,3,5-BTC)(H₂O)₆的Ce基MOF材料。前期工作已表明,在Ce(1,3,5-BTC)(H₂O)₆合成过程中,添加Pd不影响其金属有机框架结构的形成^[11]。Mn通过固-液界面反应可掺杂到Ce基MOF材料中,并在其后热解中形成MnCeO_x混合氧化物。采用XRD表征MOF衍生制得催化剂的晶相组成,结果如图1所示。所有衍射峰都归属为面心立方萤石结构CeO₂(JCPDS: 34-0394),说明Ce基MOF热解后完全转化为CeO₂。相比于未掺Mn的Pd-CeO₂,3种Pd-MnCeO_x催化剂的衍射峰均向低角度出现了偏移。这说明Mn离子掺入CeO₂晶格形成混合氧化物后发生晶格膨胀现象,因此衍射峰发生偏移^[6,12]。而且图1中没有出现MnO₂的信号,也说明没有MnO₂晶体形成,Mn以离子形态存在,掺杂进CeO₂晶格中。由于Pd含量较低且呈现高分散状态,XRD中同样未观察到Pd或者PdO的信号峰。

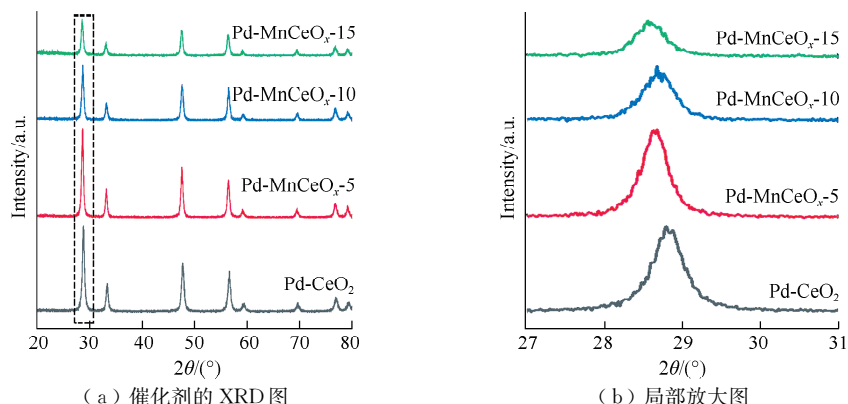


图1 催化剂的XRD图和局部放大图

Fig.1 XRD and local enlarged images of catalysts

XRD 揭示催化剂主要以 Mn 掺杂进 CeO_2 晶体的结构存在, 为了进一步表征 Mn 的掺杂量和 Pd 的负载量, 采用 ICP 测试来检测催化剂中元素含量。结果表明, Pd- CeO_2 中 Pd 的质量分数为 0.96%, 略高于 Pd-MnCeO_x-5 (0.88%), Pd-MnCeO_x-10 (0.85%) 和 Pd-MnCeO_x-15 (0.80%), 一方面, Mn 的掺杂使得催化剂整体质量上升, 另一方面, 在加入 KMnO_4 以及后续洗涤过程中可能造成小部分 Pd 的流失。Pd-MnCeO_x-5, Pd-MnCeO_x-10 和 Pd-MnCeO_x-15 中 Mn 的质量分数分别为 2.34%, 3.26% 和 4.02%, 即随着 KMnO_4 的增加, 掺杂进 CeO_2 晶格中的 Mn 离子也随之增加。

在通过 XRD 和 ICP 确定 Mn 的掺杂和 Pd 的负载之后, 采用 TEM 来揭示催化剂的形貌及 Pd 和 Mn 的分散情况。图 2 为不同 KMnO_4 浓度下制得的 Pd-MnCeO_x 催化剂的 TEM 图像, 3 种催化剂都呈现棒状形貌, 且具有粗糙多孔的表面, 这是由于 MOF 前驱体在热解的过程中, 释放出 CO_2 和 H_2O 气相分子, 从而在表面创造出不规则的孔结构^[13]。对比发现, 随着 KMnO_4 浓度的增大, 催化剂表面逐渐变得致密, 说明 Mn 的掺入量逐渐增大。对 Pd-MnCeO_x-10 进行 EDS 分析, 结果如图 3 所示。其中 Pd, Ce, Mn 和 O 元素均在棒上呈现均匀的高分散状态, 结合形貌观察并未出现明显的 CeO_2 或者 MnO_2 颗粒, 说明纳米棒主要以 MnCeO_x 混合氧化物的形态存在。也未观察到明显的 Pd 颗粒, 说明将 MOF 作为前驱体并用来限域 Pd 可以有效促进 Pd 高分散, 并防止团聚^[14]。

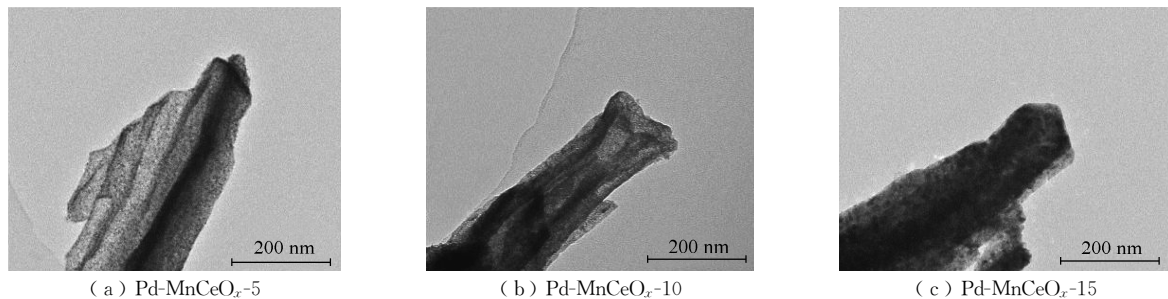


图 2 TEM 图

Fig.2 TEM images

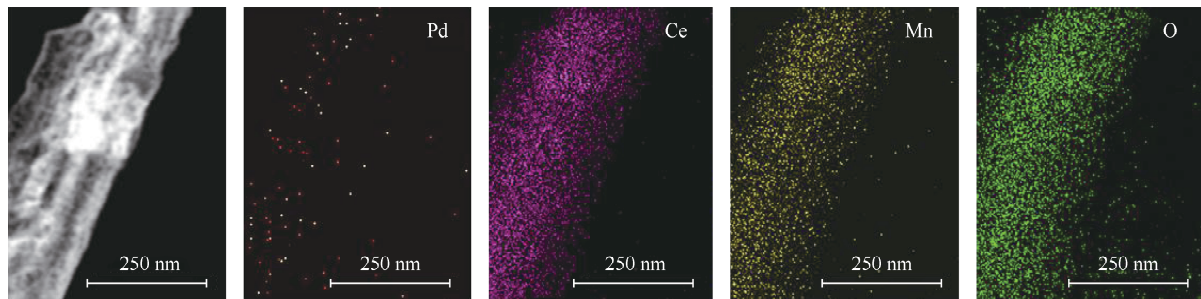


图 3 Pd-MnCeO_x-10 的元素分布图

Fig.3 Element distribution diagram of Pd-MnCeO_x-10

2.2 化学环境

通过 XPS 来表征催化剂中 Pd 的化学价态和电子环境, 结果如图 4 所示。从 Pd 3d 谱图来看, Pd- CeO_2 的 $3d_{5/2}$ 自旋轨道只引发了一个位于 337.1 eV 的主峰, 归属为表面 PdO ^[15]。相比于典型 PdO 的电子结合能, 该处峰向高处偏移, 说明其离子化程度变高。而 Pd-MnCeO_x 系列催化剂除了 PdO 所激发的信号, 还在 337.9 eV 处出现了一个新峰, 归属为由金属-载体相互作用而导致的高离子态 Pd^{n+} , 这说明 Mn 的掺杂促进了 Pd 产生金属-载体相互作用^[16]。此外, 从峰面积占比来看, Pd-MnCeO_x-10 具有最高的 Pd^{n+} 浓度, 说明在掺杂量为 3.26% 时, Pd 具有最强的金属-载体相互作用。

图5为各催化剂的拉曼光谱图,位于455 cm⁻¹处的主峰归属为立方萤石结构CeO₂的F_{2g}振动信号,相比于Pd-CeO₂,Pd-MnCeO_x中这一处峰的峰宽略有变大,这是由于Mn掺杂进CeO₂晶格引起的晶格膨胀效应,同XRD中观察到的现象相符合。Pd-MnCeO_x在630 cm⁻¹处出现了新峰,归属为典型的Mn—O振动模式,同样可以说明MnCeO_x混合氧化物的形成^[17]。位于565 cm⁻¹处的拉曼峰则对应于氧空穴的缺陷振动信号,对比发现,随着Mn掺杂量的增大,氧空穴浓度显著上升,其中Pd-MnCeO_x-15中氧空穴浓度最高^[18]。

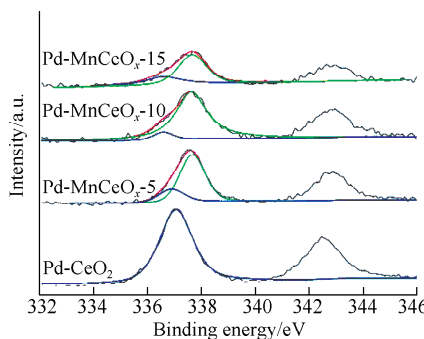


图4 Pd 3d XPS 谱图

Fig.4 XPS spectrum of Pd 3d

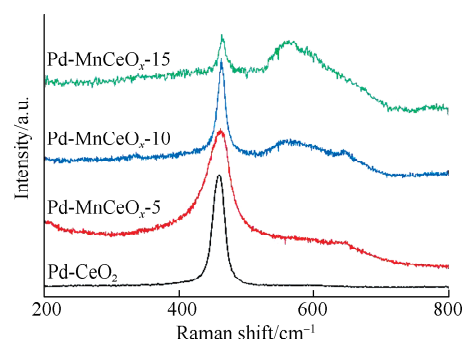


图5 催化剂的拉曼谱图

Fig.5 Raman spectra of catalysts

H₂-TPR表征用来探究催化剂中混合氧化物的还原性能以及金属-载体间的相互作用^[19-20],具体结果如图6所示。Pd-CeO₂在200~450 °C内仅存在1个单峰,该峰归属为CeO₂表面氧的还原。而在掺杂Mn之后,Pd-MnCeO_x系列催化剂均在这一温度范围内出现2个峰,且H₂消耗量较大。其中200~300 °C内的峰归属为CeO₂表面氧的还原,相比Pd-CeO₂,Pd-MnCeO_x中CeO₂表面氧的还原向低温处偏移,说明Mn在掺杂进CeO₂晶格后与其发生相互作用,促进了其低温还原性能。300~450 °C内的峰则是由MnO₂还原为Mn₃O₄,以及Mn₃O₄进一步还原为MnO而引发的,随着Mn掺杂量的增加,这一处消耗峰随之增大^[21]。150 °C以下的H₂消耗峰则有Pd的参与,所有样品均在50~70 °C处出现了负峰,这是由于表面暴露的Pd颗粒与H₂形成PdH_x后,加热再分解析出H₂而形成的^[22]。70~150 °C处峰则是由Pd与混合氧化物相互作用导致的,其中Pd-MnCeO_x-10中存在最大的消耗峰,说明其具有最强的金属-载体相互作用。

2.3 催化活性

Pd-CeO₂和Pd-MnCeO_x系列催化剂的CO氧化反应活性曲线如图7所示。通过在线色谱分析发现,在CO完全转化后,经TCD检测只存在CO₂特征峰,表明CO的转化产物全部为CO₂。其中Pd-MnCeO_x-10表现出了最佳低温活性,在100 °C时具有完全转化CO的能力。Pd-MnCeO_x-5和Pd-MnCeO_x-15在CO转化率达到100%时的温度分

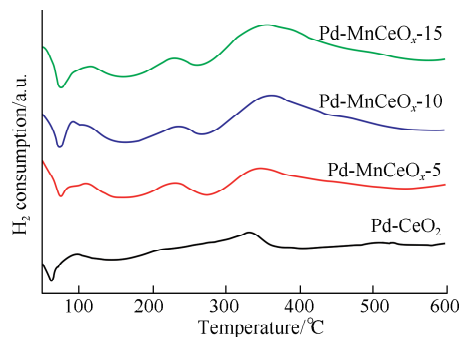
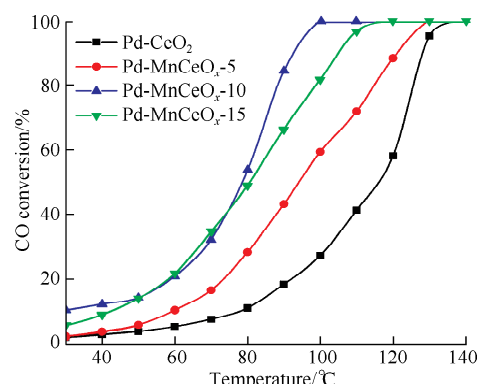
图6 H₂-TPR 图Fig.6 H₂-TPR images

图7 CO 氧化反应活性曲线

Fig.7 Light-off curves of CO oxidation

别为 130, 120 °C, 均低于 Pd-CeO₂ (140 °C), 这说明 Mn 的掺杂通过提高载体中的氧空穴浓度, 促进了低温下 CO 氧化反应的发生^[23]。Pd 基催化剂上 CO 氧化反应主要遵循 Mars-van Krevelen 机理, 即 CO 吸附在 Pd 上, 并与界面处晶格氧反应, 之后气相氧补充晶格氧^[6,24]。Pd-MnCeO_x-15 催化剂在 30~80 °C 内与 Pd-MnCeO_x-10 活性相差不大, 说明低温阶段气相氧解离填充氧空穴是决速步骤。而在温度高于 80 °C 时, Pd-MnCeO_x-10 要优于 Pd-MnCeO_x-15, 说明在这一阶段, Pd-Ce 间的相互作用更为重要, 即界面处 CO 与活性氧的结合是决速步骤, 因此具有更强 Pd-Ce 作用的 Pd-MnCeO_x-10 表现出最佳活性^[25]。Mn 的掺杂可以提高载体氧空穴浓度, 从而加强晶格氧流动性, 同时还可以优化 Pd-Ce 之间的相互作用, 促进界面处反应^[26-27]。在 Mn 的掺杂量为 3.26% 时, Pd-MnCeO_x 催化剂中具有较高的氧空穴浓度和最强的 Pd-Ce 相互作用, 此时具有最佳的 CO 催化氧化能力。

3 结 论

Ce 基 MOFs 限域 Pd 颗粒是制备高分散 Pd 催化剂的有效方法, 而通过界面反应掺杂 Mn 离子可以促使 Mn 在 CeO₂ 晶格中均匀分散, 因此, MnCeO_x 混合氧化物负载 Pd 催化剂具有更高的氧空穴浓度和低温氧化还原性能。其中 Pd-MnCeO_x-10 拥有较高的氧空穴浓度和晶格氧流动性, 以及最强的金属-载体相互作用, 因此表现出最佳的 CO 催化氧化活性, 在 100 °C 时即可将 CO 完全转化。

参考文献:

- [1] ZHOU Y, WANG Z, LIU C. Perspective on CO oxidation over Pd-based catalysts[J]. *Catalysis Science & Technology*, 2014, 5(1): 69-81.
- [2] 孟甜甜, 赵世超, 陈朝秋, 等. 原子层沉积制备 Pt/CeO₂ 催化剂及其低温 CO 氧化性能的研究[J]. 现代化工, 2020, 40(10): 184-187.
- [3] 吴静谧, 曾亮, 程党国, 等. CeO₂ 纳米管负载 Pd 纳米颗粒催化 CO 低温氧化[J]. 催化学报, 2016, 37(1): 83-90.
- [4] 许杰, 文琳智, 郑欢, 等. 介孔氧化铈负载 Pd 催化苯甲醇选择氧化[J]. 常州大学学报(自然科学版), 2020, 32(6): 22-30.
- [5] CHEN Y, CHEN J, QU W, et al. Well-defined palladium-ceria interfacial electronic effects trigger CO oxidation[J]. *Chemical Communications*, 2018, 54(72): 10140-10143.
- [6] SUN H, YU X, MA X, et al. MnO_x-CeO₂ catalyst derived from metal-organic frameworks for toluene oxidation[J]. *Catalysis Today*, 2020, 355: 580-586.
- [7] 赵吉晓, 蔡文静, 焦志峰, 等. Pd-Cu/SiC 催化苯乙炔选择性加氢性能[J]. 常州大学学报(自然科学版), 2022, 34(5): 23-29.
- [8] DAI Y, LU P, CAO Z, et al. The physical chemistry and materials science behind sinter-resistant catalysts[J]. *Chemical Society Reviews*, 2018, 47(12): 4314-4331.
- [9] ABBASI F, KARIMI-SABET J, GHOTBI C. Reactivity and characteristics of Pd/MOF and Pd/calciated-MOF catalysts for CO oxidation reaction: effect of oxygen and hydrogen[J]. *International Journal of Hydrogen Energy*, 2021, 46(24): 12822-12834.
- [10] SONG L, XU T, GAO D, et al. Metal-organic framework-derived carbon-mediated interfacial reaction for the synthesis of CeO₂-MnO₂ catalysts[J]. *Chemistry-A European Journal*, 2019, 25(26): 6621-6627.
- [11] YE J, CHENG D, CHEN F, et al. Metal-organic framework-derived CeO₂ nanosheets confining ulrasmall Pd nano-clusters catalysts with high catalytic activity[J]. *International Journal of Hydrogen Energy*, 2021, 46(80): 39892-39902.
- [12] MENG L, LIN J J, PU Z Y, et al. Identification of active sites for CO and CH₄ oxidation over PdO/Ce_{1-x}Pd_xO_{2-δ}

- catalysts[J]. Applied Catalysis B: Environmental, 2012, 119/120: 117-122.
- [13] LIU L, YAO Z, DENG Y, et al. Morphology and crystal-plane effects of nanoscale ceria on the activity of CuO/CeO₂ for NO reduction by CO[J]. ChemCatChem, 2011, 3(6): 978-989.
- [14] CHEN L Y, CHEN H R, LI Y W. One-pot synthesis of Pd@MOF composites without the addition of stabilizing agents[J]. Chemical Communications, 2014, 50(94): 14752-14755.
- [15] SLAVINSKAYA E M, GULYAEV R V, ZADESENETS A V, et al. Low-temperature CO oxidation by Pd/CeO₂ catalysts synthesized using the coprecipitation method[J]. Applied Catalysis B: Environmental, 2015, 166/167: 91-103.
- [16] YE J, CHENG D, CHEN F, et al. Controlled synthesis of sintering-resistant Pd@CeO₂ core-shell nanotube catalysts for CO oxidation[J]. Industrial & Engineering Chemistry Research, 2019, 58(48): 21972-21982.
- [17] HAN N K, CHOI Y C, PARK D U, et al. Core-shell type composites based on polyimide-derived carbon nanofibers and manganese dioxide for self-standing and binder-free supercapacitor electrode applications[J]. Composites Science and Technology, 2020, 196: 108212.
- [18] 袁堃, 张亚文. 纳米氧化铈的缺陷化学及其在多相催化中作用的研究进展[J]. 中国稀土学报, 2020, 38(3): 326-344.
- [19] KURNATOWSKA M, KEPINSKI L, MISTA W. Structure evolution of nanocrystalline Ce_{1-x}Pd_xO_{2-y} mixed oxide in oxidizing and reducing atmosphere: reduction-induced activity in low-temperature CO oxidation[J]. Applied Catalysis B: Environmental, 2012, 117/118: 135-147.
- [20] GUO M N, GUO C X, JIN L Y, et al. Nano-sized CeO₂ with extra-high surface area and its activity for CO oxidation[J]. Materials Letters, 2010, 64(14): 1638-1640.
- [21] ZHANG X, BI F, ZHU Z, et al. The promoting effect of H₂O on rod-like MnCeO_x derived from MOFs for toluene oxidation: a combined experimental and theoretical investigation[J]. Applied Catalysis B: Environmental, 2021, 297: 120393.
- [22] ZHANG S, CHANG C, HUANG Z, et al. High catalytic activity and chemoselectivity of sub-nanometric Pd clusters on porous nanorods of CeO₂ for hydrogenation of nitroarenes[J]. Journal of the American Chemical Society, 2016, 138(8): 2629-2637.
- [23] WANG B J, CHU G W, LI Y B, et al. Intensified micro-mixing effects on evolution of oxygen vacancies of CeO₂-based catalysts for improved CO oxidation[J]. Chemical Engineering Science, 2021, 244: 116814.
- [24] TANG T, YE L M, CHEN Y R, et al. Diving into the interface-mediated Mars-van Krevelen characteristic of CuO_x-supported CeO₂ catalysts[J]. Applied Catalysis B: Environmental, 2024, 342: 123368.
- [25] SONG J L, BAI S X, SUN Q. Strong metal-support interaction of Pd/CeO₂ enhances hydrogen production from formic acid decomposition [J]. Colloids and Surfaces A: Physicochemical and Engineering Aspects, 2023, 658: 130645.
- [26] MURAVEV V, SPEZZATI G, SU Y Q, et al. Interface dynamics of Pd-CeO₂ single-atom catalysts during CO oxidation[J]. Nature Catalysis, 2021, 4(6): 469-478.
- [27] WAIKAR J, MORE P. Oxygen deficient Ce doped CO supported on alumina catalyst for low-temperature CO oxidation in presence of H₂O and SO₂[J]. Fuel, 2023, 331: 125880.

(责任编辑:李艳)